

ПРАВИЛА СУММ ДЛЯ КВАДРАТОВ ЧАСТОТ И ЧАСТОТ КОЛЕБАНИЙ ГАЛОИДОБЕНЗОЛОВ

Ю. С. Коростелев, Н. А. Коростелева и Л. М. Свердлов

В работах [1-3] были выведены правила сумм для квадратов частот и частот колебаний систем изотопозамещенных молекул и парафиновых углеводородов.

В данной работе показывается, что аналогичные приближенные правила сумм справедливы и для галоидозамещенных бензола. Рассмотрим ряд галоидозамещенных молекул бензола $C_6H_{6-n}X_n$ ($X=F, Cl, Br, J n=1 \dots 6$). Все молекулы этого ряда в координатах симметрии характеризуются 21 плоским колебанием и 9 неплоскими колебаниями.

Рассматриваемый ряд молекул разделим на две совокупности (I и II) такие, что в каждой совокупности имеется по одному числу атомов водорода и галоида. Для каждой молекулы данных совокупностей составим вековые уравнения в координатах симметрии, определяющие квадраты частот нормальных колебаний,

$$|D_{ij} - \delta_{ij}\lambda| = 0 \quad (\lambda = \nu^2, i, j = 1, 2 \dots s), \quad (1)$$

где $D_{ij} = \sum_r A_{ir} K_{rj}$ — коэффициенты полного взаимодействия. Суммы диагональных элементов вековых уравнений для I и II совокупностей можно выразить в виде

$$\sum_i D_{ii}^{(I)} = \sum_{ij} A_{ij}^{(I)} K_{ji}^{(I)}, \quad (2)$$

$$\sum_i D_{ii}^{(II)} = \sum_{ij} A_{ij}^{(II)} K_{ji}^{(II)}, \quad (3)$$

где $A_{ij}^{(I)}, A_{ij}^{(II)}, K_{ji}^{(I)}, K_{ji}^{(II)}$ — кинематические и силовые коэффициенты для I и II совокупностей соответственно.

Геометрические параметры аналогичных структурных групп галоидобензолов меняются незначительно при переходе от одной молекулы к другой. Расчеты частот нормальных колебаний галоидобензолов показали, что однотипные силовые постоянные в ряду $C_6H_{6-n}X_n$ для данного типа галоида меняются в небольших пределах. С учетом этого условия можно принять, что

$$\sum_{ij} A_{ij}^{(I)} K_{ji}^{(I)} \approx \sum_{ij} A_{ij}^{(II)} K_{ji}^{(II)}. \quad (4)$$

Из выражений (2)–(4) следует, что

$$\sum_i D_{ii}^{(I)} \approx \sum_i D_{ii}^{(II)}. \quad (5)$$

Принимая во внимание, что сумма диагональных элементов векового уравнения (1) равна сумме квадратов частот нормальных колебаний, получим

$$\sum_i \nu_i^2 (I) \approx \sum_i \nu_i^2 (II). \quad (6)$$

Соотношение (6) назовем правилом сумм для квадратов частот колебаний галоидобензолов. Его можно сформулировать следующим образом: если ряд галоидозамещенных бензола разбить на две совокупности так, чтобы в совокупностях было по одному числу атомов водорода и какого-либо галоида, то сумма квадратов частот нормальных колебаний всех молекул одной совокупности приближенно равна соответствующей сумме для другой совокупности.

В отличие от правила сумм для квадратов частот изотопных молекул [1, 3], которое вполне строго для частот гармонических колебаний, соотношение (6) является приближенным.

Приведем примеры, показывающие справедливость правила сумм для квадратов частот галоидобензолов (в ед. 10^6 см^{-2})

$$1. \Sigma \nu^2 (C_6H_5F) + \Sigma \nu^2 (C_6HF_5) = \Sigma \nu^2 (C_6F_6) + \Sigma \nu^2 (C_6H_6)$$

$$(A_1, B_1) \quad 100.0331 \quad 100.6757 \quad \Delta = 0.6426 \quad (0.64\%), \\ (A_2, B_2) \quad 7.1989 \quad 7.2272 \quad \Delta = 0.0283 \quad (0.39\%).$$

$$2. \Sigma \nu^2 (C_6H_5Cl) + \Sigma \nu^2 (C_6HCl_5) = \Sigma \nu^2 (C_6Cl_6) + \Sigma \nu^2 (C_6H_6)$$

$$(A_1, B_1) \quad 93.8105 \quad 94.3209 \quad \Delta = 0.5104 \quad (0.54\%), \\ (A_2, B_2) \quad 6.9377 \quad 7.0645 \quad \Delta = 0.1268 \quad (1.83\%).$$

$$3. \Sigma v^2(C_6H_5Br) + \Sigma v^2(n-C_6H_4Br_2) = \Sigma v^2(\mu-C_6H_4Br_2) + \frac{1}{2}[\Sigma v^2(o-C_6H_4Br_2) + \Sigma v^2(C_6H_6)]$$

$$\begin{array}{lllll} (A_1, B_1) & 124.2764 & 124.6580 & \Delta = 0.3824 & (0.31\%), \\ (A_2, B_2) & 8.8433 & 8.8810 & \Delta = 0.0377 & (0.43\%). \end{array}$$

$$4. \Sigma v^2(C_6H_5J) = \frac{1}{2} [\Sigma v^2(n-C_6H_4J_2) + \Sigma v^2(C_6H_6)]$$

$$\begin{array}{lllll} (A_1, B_1) & 67.0325 & 67.2760 & \Delta = 0.2435 & (0.36\%), \\ (A_2, B_2) & 4.7960 & 4.7870 & \Delta = -0.0090 & (0.19\%). \end{array}$$

$$5. \Sigma v^2(\mu-C_6H_4F_2) + \Sigma v^2(1,2,3,4-C_6H_2F_4) = \Sigma v^2(n-C_6H_4F_2) + \Sigma v^2(1,2,4,6-C_6H_2F_4)$$

$$\begin{array}{lllll} (A_1, B_1) & 100.4264 & 100.5094 & \Delta = 0.0830 & (0\%), \\ (A_2, B_2) & 6.8722 & 6.8182 & \Delta = -0.0640 & (0.93\%). \end{array}$$

$$6. \Sigma v^2(\mu-C_6H_4Cl_2) + \Sigma v^2(1,2,3,4-C_6H_2Cl_4) = \Sigma v^2(n-C_6H_4Cl_2) + \Sigma v^2(1,2,4,6-C_6H_2Cl_4)$$

$$\begin{array}{lllll} (A_1, B_1) & 94.6720 & 94.4349 & \Delta = 0.2371 & (0.25\%), \\ (A_2, B_2) & 6.8722 & 6.8182 & \Delta = 0.0540 & (0.78\%). \end{array}$$

Используя соображения, приведенные в работе [1] при выводе правила сумм для частот колебаний изотопных молекул, и учитывая замечания, сделанные при выводе правила (6), можно вывести правила сумм для частот колебаний галоидобензолов

$$\sum_i v_i^I \approx \sum_i v_i^{II}. \quad (7)$$

Приведем примеры, иллюстрирующие выполнение правила (7) (в ед. 10^3 см^{-1})

$$1. \Sigma v(C_6H_5F) + \Sigma v(C_6HF_5) = \Sigma v(C_6F_6) + \Sigma v(C_6H_6)$$

$$\begin{array}{lllll} (A_1, B_1) & 54.7780 & 54.8980 & \Delta = 0.1200 & (0.22\%), \\ (A_2, B_2) & 10.2709 & 10.2650 & \Delta = -0.0059 & (0\%). \end{array}$$

$$2. \Sigma v(C_6H_5Cl) + \Sigma v(C_6HCl_5) = \Sigma v(C_6Cl_6) + \Sigma v(C_6H_6)$$

$$\begin{array}{lllll} (A_1, B_1) & 51.3550 & 51.5090 & \Delta = 0.1540 & (0.30\%), \\ (A_2, B_2) & 9.7990 & 9.8450 & \Delta = 0.0460 & (0.47\%). \end{array}$$

$$3. \Sigma v(C_6H_5Br) + \Sigma v(n-C_6H_4Br_2) = \Sigma v(\mu-C_6H_4Br_2) + \frac{1}{2} [\Sigma v(o-C_6H_4Br_2) + \Sigma v(C_6H_6)]$$

$$\begin{array}{lllll} (A_1, B_1) & 60.9260 & 60.5230 & \Delta = 0.4030 & (0.66\%), \\ (A_2, B_2) & 11.5900 & 11.6060 & \Delta = 0.0160 & (0.14\%). \end{array}$$

$$4. \Sigma v(C_6H_5J) = \frac{1}{2} [\Sigma v(n-C_6H_4J_2) + \Sigma v(C_6H_6)]$$

$$\begin{array}{lllll} (A_1, B_1) & 32.1240 & 32.1260 & \Delta = 0.0020 & (0\%), \\ (A_2, B_2) & 6.1110 & 6.1045 & \Delta = -0.0065 & (0.1\%). \end{array}$$

$$5. \Sigma v(\mu-C_6H_4F_2) + \Sigma v(1,2,3,4-C_6H_2F_4) = \Sigma v(n-C_6H_2F_4) + \Sigma v(1,2,4,6-C_6H_2F_4)$$

$$\begin{array}{lllll} (A_1, B_1) & 54.6130 & 54.8200 & \Delta = 0.2070 & (0.38\%), \\ (A_2, B_2) & 10.3510 & 10.2630 & \Delta = -0.0880 & (0.85\%). \end{array}$$

$$6. \Sigma v(\mu-C_6H_4Cl_2) + \Sigma v(1,2,3,4-C_6H_2Cl_4) = \Sigma v(n-C_6H_4Cl_2) + \Sigma v(1,2,4,6-C_6H_2Cl_4)$$

$$\begin{array}{lllll} (A_1, B_1) & 51.5640 & 51.4400 & \Delta = -0.1240 & (0.24\%), \\ (A_2, B_2) & 9.8190 & 9.7630 & \Delta = -0.0560 & (0.57\%). \end{array}$$

Для иллюстрации выполнения правил сумм для галоидобензолов взяты частоты, приведенные в работах [3-13].

Выполнение правил сумм для квадратов частот и частот колебаний (6) и (7) может служить проверкой правильности интерпретации частот нескольких родственных галоидобензолов и определения неизвестных частот по известным. В частности, для $1,3,5-C_6H_3X_3$ ($X = F, Cl, Br$) по правилу сумм (6) определены частоты колебаний типа A'_2 , неактивные в ИК спектре.

Литература

- [1] Л. М. Свердлов. ДАН СССР, 78, 1115, 1951; 94, 451, 1954.
- [2] А. Г. Финкель, Л. М. Свердлов. Оптический спектр., 3, 104, 1967.
- [3] Л. М. Свердлов, М. А. Ковнер, Е. П. Крайнов. Колебательные спектры многоатомных молекул. Изд. «Наука», М., 1970.

- [4] D. Steele, E. R. Lippincott, J. Xavier. J. Chem. Phys., 33, 1242, 1960.
[5] D. H. Whiffen. J. Chem. Soc., June, 1350, 1956.
[6] J. R. Scherer, J. C. Evans. Spectrochim. Acta, 19, 11, 1739, 1963.
[7] J. H. S. Green, W. Kunaston, H. M. Paisley. J. Chem. Soc., 473, 1963.
[8] J. R. Scherer. Spectrochim. Acta, 21, 321, 1965.
[9] J. H. S. Green. Spectrochim. Acta, 26A, 1523, 1970.
[10] J. H. S. Green. Spectrochim. Acta, 26A, 1503, 1970.
[11] E. E. Ferguson, R. L. Hudson, J. R. Nielson. J. Chem. Phys., 21, 1727, 1953.
[12] D. Steele, D. H. Whiffen. Spectrochim. Acta, 19, 1947, 1963.
[13] D. Steele, D. H. Whiffen. J. Chem. Phys., 29, 1194, 1958.

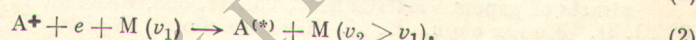
Поступило в Редакцию 10 сентября 1973 г.

УДК 533.9

О ВОЗМОЖНОСТИ НЕКОТОРЫХ МЕХАНИЗМОВ ВЛИЯНИЯ МОЛЕКУЛ НА СВОЙСТВА АТОМНО-МОЛЕКУЛЯРНОЙ ПЛАЗМЫ

A. M. Шухтин и Г. А. Федотов

Плазма в смеси атомарного и молекулярного газов представляет значительный интерес ввиду ее широкого практического применения в газовых лазерах, МГД генераторах, плазмотронах и т. д. Большие концентрации молекул в этих системах (давления порядка десятков и сотен тор) делают изучение специфически молекулярных процессов в плазме весьма актуальной задачей. В данном сообщении указывается на возможность значительной роли в плазме реакций типа



A^{**} означает высоковозбужденное состояние (BBC) атома A, $A^{(*)}$ — нижележащее возбужденное состояние (BC) или основное состояние атома A, v_1 и v_2 — колебательные квантовые числа молекулы M. Процесс (1) является тушением атомного уровня молекулой; специфика его в том, что в тушении участвует BBC. Особенность реакции (2) заключается в том, что энергия, выделяющаяся при электрон-ионной рекомбинации тройным столкновением, отводится по каналу колебательного возбуждения третьей частицы.

Рассмотрим (1). Известные в [1] сечения тушения уровней натрия $5S \div 9S$, $4D \div 8D$, $3P \div 6P$ молекулами азота превосходят 10^{-15} см^2 . Воспользовавшись $\sigma_{\text{тущ}}^{\text{Na}(8S)} = 0.9 \cdot 10^{-14} \text{ см}^2$, оценим вероятность разрушения BBC, обусловленного тушением, для 1 тор M

$$\Lambda_{A^{**}}^{\text{тущ.}} = n_M \bar{\sigma}_{\text{тущ.}} = 3 \cdot 10^{16} \text{ см}^{-3} \cdot 10^{-14} \text{ см}^2 \cdot 10^5 \text{ см/сек.} \sim 10^7 \div 10^8 \text{ сек.}^{-1}.$$

Отметим, что $\Lambda_{A^{**}}^{\text{тущ.}}$ линейно возрастает с давлением молекулярного газа. Вероятность радиационного разрушения A^{**} невелика (например, для уровней Na, отстоящих от потенциала ионизации на $0.2 \div 0.3$ эв, $\Lambda_{\text{рад.}} \sim 10^6 \text{ сек.}^{-1}$ по расчетам [2]), и ею можно пренебречь по сравнению с $\Lambda_{A^{**}}^{\text{тущ.}}$. Оценим вероятность ионизации BBC электронным ударом $c_{i\infty}$. По формуле из работы [3], полученной с учетом формулы Томсона для сечения ступенчатой ионизации и максвелловской функции распределение электронов по скоростям, имеем $c_{i\infty} \sim 10^8 \text{ сек.}^{-1}$ для уровня, отстоящего от потенциала ионизации на $\varepsilon_i = 0.2$ эв, при $n_e = 10^{13} \text{ см}^{-3}$ и $T_e = 5 \cdot 10^3 \text{ К}$. По данным [4], для BBC вероятность удара второго рода с электроном при $n_e = 10^{13} \text{ см}^{-3}$ составляет $c_{i,i-1} \sim 10^8 \div 10^9 \text{ сек.}^{-1}$. Видно, что $c_{i\infty}$ и $c_{i,i-1}$ близки по порядку величины к $\Lambda_{A^{**}}^{\text{тущ.}}$. Расчет рекомбинационного потока на i -й уровень, сделанный по формуле, приведенной в [3], дает при тех же n_e и T_e : $I_i \sim 10^{14} \text{ см}^{-3} \text{ сек.}^{-1}$.

Надо отметить, что I_i — поток на один уровень; суммарный поток на BBC, лежащий в примыкающем к границе ионизации энергетическом интервале, может быть существенно больше. Исходя из полученных оценок, можно ожидать значительной роли тушащих столкновений (1) в заселении нижележащих BC.